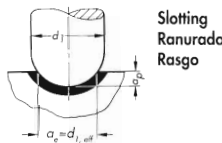


# Use of ball nose cutters

## Uso de fresas de punta esférica

### Utilize fresas de topo esférico



#### Depth of cut M28:

max.  $a_p \approx 0.35 d_1$  in slotting  
 $\approx 0.9 d_1$  in shoulder and copy milling

#### Cutter diameter:

In the case of depths of cut  $a_p < 0.5 d_1$ , the cutting diameter to be used when calculating spindle speed and feed speed is smaller than the cutter diameter  $d_1$ .

The effective cutting diameter can be calculated from:

$$d_{1,\text{eff}} = 2 \sqrt{a_p (d_1 - a_p)}$$

or can be read from the table below.

#### Spindle speed:

Spindle speed is given by

$$n = \frac{v_c \cdot 12}{d_{1,\text{eff}} \cdot \pi} \quad [\text{rpm}]$$

#### Correction factors:

For smaller widths of cut  $a_e \leq 0.40$  the cutting data should be corrected as shown in the table.

Ratio $a_e:d_1$	0.05	0.1	0.2	0.4
$f_z$ Factor	3	2	1.5	1
$v_c$ Factor	1.5	1.4	1.3	1.2

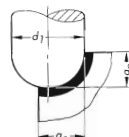
#### Mean undeformed chip thickness:

$$\text{if } a_p : d_1 \leq 0.3 \quad h_m = f_z \sqrt{\frac{a_p}{d_1}}$$

#### Effective cutter diameter $d_{1,\text{eff}}$ for ball nose cutters as a function of depth of cut $a_p$

Diámetro de corte efectivo  $d_{1,\text{eff}}$  para fresas de punta esférica en función de la profundidad de corte  $a_p$   
 Diâmetro efetivo da fresa  $d_{1,\text{eff}}$  para as fresas de topo esférico como função de profundidade de corte  $a_p$

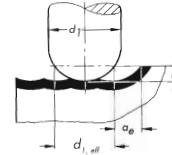
Depth of cut $a_p$ in inch Profundidad de corte $a_p$ en inch Profundidade de corte $a_p$ em inch	Approximate effective cutter diameter $d_{1,\text{eff}}$ for cutter nominal diameter $d_1$ Diámetro de corte efectivo aprox. $d_{1,\text{eff}}$ para diámetro de corte nominal $d_1$ Diâmetro $d_{1,\text{eff}}$ efetivo da fresa para diâmetro nominal $d_1$							
	3/8	1/2	5/8	3/4	1	1-1/4	1-9/16	2
.008	.110	.122	.142	.157	.177	.197	.220	.248
.016	.154	.169	.197	.220	.248	.280	.315	.350
.024	.185	.205	.240	.268	.303	.343	.382	.429
.031	.213	.236	.276	.307	.346	.394	.441	.492
.047	.256	.283	.331	.374	.421	.480	.535	.602
.063	.287	.323	.378	.429	.480	.547	.618	.693
.126	.366	.417	.504	.579	.657	.756	.854	.965
.236		.472	.610	.720	.843	.984	1.126	1.280
.394				.787	.965	1.169	1.362	1.575
.630					.945	1.260	1.543	1.835
.787							1.575	1.929
.984								1.969



#### Shoulder/periipheral milling

Escuadrado/fresado periférico

Fresamento de rebaixo/periférico



#### Copy/line by line milling

Copiado/fresado alineado

Cópia/fresamento de linha por linha

#### Profundidad de corte M28:

max.  $a_p \approx 0.35 d_1$  in rasgo  
 $\approx 0.9 d_1$  in escuadrado y copiar

#### Diámetro de la fresa:

En caso de profundidades de corte  $a_p < 0.5 d_1$ , el diámetro de fresado a tener en cuenta para el cálculo de las velocidades de giro y avance ha de ser inferior al diámetro nominal de la fresa  $d_1$ .

El diámetro de fresado efectivo puede calcularse mediante la fórmula:

$$d_{1,\text{eff}} = 2 \sqrt{a_p (d_1 - a_p)}$$

o desprenderse directamente de la tabla abajo.

#### Velocidad de giro:

La velocidad de giro es producto de

$$n = \frac{v_c \cdot 12}{d_{1,\text{eff}} \cdot \pi} \quad [\text{rpm}]$$

#### Factores de corrección:

Para anchos de corte menores a  $a_e \leq 0.40$  se han de reconvertir los parámetros de corte de acuerdo con la tabla.

Proporción $a_e:d_1$	0.05	0.1	0.2	0.4
$f_z$ Factor	3	2	1.5	1
$v_c$ Factor	1.5	1.4	1.3	1.2

#### Velocidade do eixo principal:

A velocidade do eixo principal é indicada por

$$n = \frac{v_c \cdot 12}{d_{1,\text{eff}} \cdot \pi} \quad [\text{rpm}]$$

#### Fatores de correção:

Para larguras menores de corte  $a_e \leq 0.40$  os dados de corte devem ser corrigidos como indicado na tabela.

Relação $a_e:d_1$	0.05	0.1	0.2	0.4
$f_z$ Fator	3	2	1.5	1
$v_c$ Fator	1.5	1.4	1.3	1.2

#### Espesor medio de la viruta no deformada:

$$\text{if } a_p : d_1 \leq 0.3 \quad h_m = f_z \sqrt{\frac{a_p}{d_1}}$$

#### Espessura média dos cavacos não conformados:

$$\text{if } a_p : d_1 \leq 0.3 \quad h_m = f_z \sqrt{\frac{a_p}{d_1}}$$